

УДК 539.3

© 1995 г. А. Г. БАГДОВЕВ, А. А. ВАНЦЯН

ИССЛЕДОВАНИЕ ПРОНИКАНИЯ ТОНКОГО ЗАОСТРЕННОГО
ТВЕРДОГО ИНДЕНТОРА
В ТРАНСВЕРСАЛЬНО-ИЗОТРОПНУЮ СРЕДУ

Рассматривается задача проникания тонкого твердого индентора в первоначально упругую трансверсально-изотропную среду, в которой вблизи индентора образуется область пластичности (фигура). Подобные задачи решены в [1], где принималась, как и для изотропной среды, гипотеза плоских сечений [2], согласно которой изменения по радиальной координате r намного превосходят изменения по осевой координате x и считается, что компонента тензора скоростей деформации $\dot{\epsilon}_{xx} \ll \dot{\epsilon}_{rr}$. При этом для среды, в которой пределы текучести по осям r, x связаны равенством $\tau_{sr} = 2\tau_{sx}$, напряжение на инденторе было равно бесконечности.

В публикуемой работе дается анализ соотношений пластичности и дано приближенное решение без гипотезы плоских сечений. Для трансверсально-изотропной среды в области пластического течения тензор скоростей и тензор девиатора напряжений связаны зависимостями [3]:

$$\dot{\epsilon}_{rr}/a = H(\sigma'_{rr} - \sigma'_{\theta\theta}) + F(\sigma'_{rr} - \sigma'_{xx}), \quad \dot{\epsilon}_{\theta\theta}/a = H(\sigma'_{\theta\theta} - \sigma'_{rr}) + F(\sigma'_{\theta\theta} - \sigma'_{xx}) \quad (1)$$

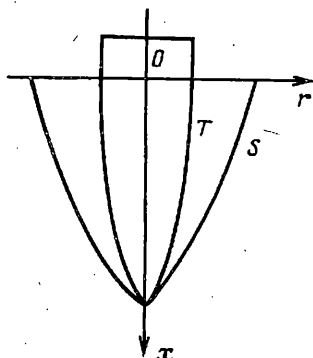
$$\dot{\epsilon}_{xx}/a = F(\sigma'_{xx} - \sigma'_{rr}) + H(\sigma'_{xx} - \sigma'_{rr}), \quad \sigma'_{xx} + \sigma'_{\theta\theta} + \sigma'_{rr} = 0$$

$$2F = 1/\tau_{sx}^2, \quad H = 1/\tau_{sr}^2 - 1/2\tau_{sx}^2 \quad (2)$$

где a — параметр пластичности, τ_s — предел текучести по соответствующим направлениям. Уравнения (1) описывают осесимметричное течение среды в предположении идеальной пластичности. Из второго, третьего и четвертого уравнений (1) следует

$$\sigma'_{rr} = \frac{1}{\alpha} \left[3 \frac{\dot{\epsilon}_{\theta\theta}}{a} F + \frac{\dot{\epsilon}_{xx}}{a} (2F + H) \right], \quad \sigma'_{\theta\theta} = \frac{1}{\alpha} \left[3 \frac{\dot{\epsilon}_{\theta\theta}}{a} F + \frac{\dot{\epsilon}_{xx}}{a} (F - H) \right]$$

$$\sigma'_{xx} = \dot{\epsilon}_{xx} (F + 2H) / (\alpha a), \quad \alpha = 3(F^2 + 2FH) \quad (3)$$



Уравнение текучести в основных порядках ($\tau_0 \ll \sigma'_{rr}$) примет вид

$$H(\sigma'_{rr} - \sigma'_{\theta\theta})^2 + F(\sigma'_{rr} - \sigma'_{xx})^2 + F(\sigma'_{\theta\theta} - \sigma'_{xx})^2 = 1 \quad (4)$$

С учетом (3)—(5) и того, что для трансверсально изотропной среды

$$\alpha = \frac{3}{\tau_{sx}^2} \left(\frac{1}{\tau_{sr}^2} - \frac{1}{4\tau_{sx}^2} \right) \quad (5)$$

можно записать соотношение

$$\frac{1}{\tau_{sx}^2} \left(\frac{\dot{\epsilon}_{\theta\theta}}{a} \right)^2 + \frac{1}{\tau_{sr}^2} \left(\frac{\dot{\epsilon}_{xx}}{a} \right)^2 + \frac{1}{\tau_{sx}^2} \frac{\dot{\epsilon}_{\theta\theta}}{a} \frac{\dot{\epsilon}_{xx}}{a} = \frac{1}{\tau_{sx}^2} \left(\frac{1}{\tau_{sr}^2} - \frac{1}{4\tau_{sx}^2} \right) \quad (6)$$

Откуда следует

$$\frac{\dot{\epsilon}_{xx}}{a} = \frac{\tau_{sr}^2}{\tau_{sx}^2} \left\{ -\frac{\dot{\epsilon}_{\theta\theta}}{2a} \pm \left[\left(\frac{\dot{\epsilon}_{\theta\theta}}{2a} \right)^2 - \left(\frac{1}{\tau_{sr}^2} - \frac{1}{4\tau_{sx}^2} \right) + \left(\frac{\dot{\epsilon}_{\theta\theta}}{a} \right)^2 \right]^{1/2} \right\} \quad (7)$$

Из (3) можно получить

$$\sigma_{rr}' - \sigma_{\theta\theta}' = \frac{3}{\alpha \tau_{sx}^2} \left(\dot{\epsilon}_{\theta\theta} + \frac{\dot{\epsilon}_{xx}}{2} \right) \quad (8)$$

Как и в случае гипотезы плоских сечений [2], можно считать $\dot{\epsilon}_{xx} = 0$, $\dot{\epsilon}_{\theta\theta} \neq 0$; тогда $\sigma_{rr}' - \sigma_{\theta\theta}' \rightarrow \infty$ при $\tau_{sr} = 2\tau_{sx}$.

Поскольку при проникании возможны различные виды касания индентора и среды, можно изучить случай

$$\dot{\epsilon}_{\theta\theta}/a \approx 1/2 \dot{\epsilon}_{xx}/a \text{ при } \tau_{sr} = 2\tau_{sx}$$

Тогда $\sigma_{rr}' - \sigma_{\theta\theta}'$ получается конечным, как это видно из (8).

Для нахождения точного решения задачи о проникании тонкого индентора в среду следует применять численные методы. Однако можно для качественного вида решения принять

$$\dot{\epsilon}_{xx} = n \dot{\epsilon}_{\theta\theta}, \quad n = 4\tau_{sx} \sin^2 \beta / (\tau_{sr} \cos^2 \beta - 2\tau_{sx}) \quad (9)$$

при этом для $\tau_{sr} \neq 2\tau_{sx}$ будет $n \sim \beta^2$, т. е. имеет место допущение [1]. Для $\tau_{sr} = 2\tau_{sx}$ получим $n = -2$. Тогда из уравнения неразрывности записанное в цилиндрических координатах $\partial v_r / \partial r + v_r / r + \dot{\epsilon}_{xx} = 0$, следует $v_r = (r_k^{n+1} / r^{n+1}) \partial r_k / \partial t$, где v_r — радиальная скорость частиц, $r = r_k(x, t)$ — уравнение меридиана индентора.

В результате будем иметь

$$\dot{\epsilon}_{\theta\theta}' = \frac{r^{n+1}}{r^{n+2}} \frac{\partial r_k}{\partial t}, \quad \dot{\epsilon}_{rr} = -(n+1) \frac{r_k^{n+1}}{r^{n+2}} \frac{\partial r_k}{\partial t}$$

Подставляя полученные значения $\dot{\epsilon}_{rr}$, $\dot{\epsilon}_{\theta\theta}$, $\dot{\epsilon}_{xx}$ в (6), можно получить

$$\frac{\dot{\epsilon}_{\theta\theta}}{a} = \sqrt{\frac{a}{3}} \left[\frac{n^2}{\tau_{sr}^2} + \frac{n+1}{\tau_{sx}^2} \right], \quad \sigma_{rr}' - \sigma_{\theta\theta}' = -\sqrt{\frac{3}{a}} \left[\frac{n+1}{\tau_{sx}^2} + \frac{n^2}{\tau_{sr}^2} \right] \frac{n+2}{\tau_{sx}^2} \quad (10)$$

Полученная формула дает в пределах выбранной гипотезы решение задачи проникания. При этом для $\lambda \ll 1$ имеем при малых β из (9) $\tau_{sr} = \tau_{sx} (2 - \lambda)$ и $-n = 2 \sin^2 \beta / (\sin^2 \beta + \lambda/2 \cos^2 \beta)$. Для $\lambda \gg \beta^2$ получим $n \sim 0$, $\alpha \gg \beta^2$, $\sigma_{rr}' - \sigma_{\theta\theta}' = (6/(\alpha \tau_{sx}))^{1/2}$.

Вместе с тем, полагая $\lambda \ll \beta^2$, найдем $n = -2(1 - \lambda/2 \operatorname{ctg}^2 \beta)$, $\sigma_{rr}' - \sigma_{\theta\theta}' = 2\tau_{sx} \operatorname{ctg} \beta$.

Таким образом, не исключено, что при точном решении задачи проникания индентора в трансверсально-изотропную среду при $\tau_{sr} = 2\tau_{sx}$ давление на индентор будет конечное, в то время как согласно решению [1], полученному для случая $\dot{\epsilon}_{xx} = 0$, $\dot{\epsilon}_{\theta\theta} \neq 0$ на инденторе $\sigma_{rr} \rightarrow \infty$ при $\tau_{sr} = 2\tau_{sx}$. Разумеется, зная $\sigma_{rr}' - \sigma_{\theta\theta}'$ из (10), следует решать уравнение равновесия $\partial \sigma_{rr}' / \partial r + (\sigma_{rr}' - \sigma_{\theta\theta}') / r =$

= 0, где, как и в [1], рассматривается одномерная по r квазистационарная задача и затем решение в области пластичности соединяется с решением в упругой области σ^e . При этом после интегрирования будем иметь

$$\sigma_{rr} = -(\sigma_{rr}' - \sigma_{\theta\theta}) \ln(r/r_k \xi_0) + \sigma^e \quad (11)$$

где $r = r_k \xi_0$ — граница пластической области; постоянная ξ_0 подлежит определению.

Для получения напряжения σ^e в упругой области можно записать для трансверсально изотропной упругой среды

$$\sigma_{rr}^e = a_{11}\varepsilon_{rr} + a_{12}\varepsilon_{\theta\theta} + a_{13}\varepsilon_{xx}$$

$$\sigma_{\theta\theta}^e = a_{12}\varepsilon_{rr} + a_{22}\varepsilon_{\theta\theta} + a_{23}\varepsilon_{xx}$$

$$a_{11} = a_{22} = \lambda + 2\mu, \quad a_{12} = \lambda, \quad \varepsilon_{rr} = \partial u_r / \partial r, \quad \varepsilon_{\theta\theta} = u_r / r$$

Тогда получим

$$\sigma_{rr}^e - \sigma_{\theta\theta}^e = 2\mu(\varepsilon_{rr} - \varepsilon_{\theta\theta}) \quad (12)$$

Подставляя полученное соотношение (12) в уравнение равновесия $\partial \sigma_{rr}^e / \partial r + (\sigma_{rr}^e - \sigma_{\theta\theta}^e) / r = 0$, можно получить

$$\frac{\partial}{\partial r} \left[(\lambda + 2\mu) \frac{\partial u_r}{\partial r} + \lambda \frac{u_r}{r} + a_{13} n \frac{u_r}{r} \right] \frac{2\mu}{r} \left(\frac{\partial u_r}{\partial r} - \frac{u_r}{r} \right) = 0$$

где учтено соотношение (9) для упругой среды. Полагая $u_r = c' / r$, найдем $c = (\lambda + a_{13}n + 2\mu) / (\lambda + 2\mu)$. Вычисляя напряжения

$$\sigma_{rr}^e = -(\lambda + 2\mu) c \frac{c'}{r^2} + (\lambda + a_{13}n) \frac{c'}{r^2}$$

$$\sigma_{\theta\theta}^e = -\lambda c \frac{c'}{r^2} + (\lambda + 2\mu + a_{13}n) \frac{c'}{r^2}$$

$$\sigma_{xx}^e = a_{13}(1 - c) \frac{c'}{r^2} + a_{33}n \frac{c'}{r^2} \quad (13)$$

и подставляя их в (4), получим

$$\frac{c'}{\xi_0^{c+1} r_k^{c+1}} [4H\mu^2(1+c)^2 + F(b_1^2 + b_2^2)]^{1/2} = 1 \quad (14)$$

$$b_1 = \lambda + a_{13}n - \lambda c - 2\mu c - a_{13} + a_{13}c - a_{33}n$$

$$b_2 = -\lambda c + \lambda + 2\mu + a_{13}n - a_{13} + a_{13}c - a_{33}n$$

Вблизи границы

$$\frac{\partial u_z}{\partial t} \approx v, \quad v_r = \left(\frac{r_k}{r} \right)^{1+n} \frac{\partial r_k}{\partial t}, \quad u_r \approx \frac{r_k^{n+1}}{2+n} \frac{1}{r^{1+n}} \quad (15)$$

Полагая $u_r^e = u_r$ при $r = r_k \xi_0$, можно определить $c' = r_k^{c+1} / (2+n) \xi_0^{c-1-n}$. Подставляя в (14), найдем

$$\xi_0^{h+2} = \frac{1}{2+n} [4H\mu^2(1+c)^2 + F(b_1^2 + b_2^2)]^{1/2}$$

Из (11) и (13) следует

$$\sigma_{rr}^e = (\lambda + a_{13}n - \lambda c + 2\mu c) / (2+n) \xi_0^{c+n}$$

Полное напряжение дается зависимостями (10) и (11).

Для проверки полученного эффекта были проделаны эксперименты по прониканию со скоростью 800 м/с стальных инденторов массой $\sim 10^{-2}$ кг в композиты, состоящие из ~ 50 слоев чередующихся металлов (алюминий, свинец, дюраль). Толщина пластинок от 10^{-3} до $6 \cdot 10^{-3}$ м. В силу большого количества слоев и периодичности можно считать, что образец однородный и трансверсально-изотропный. Слои металлов соединены клеем ГИПК-113. Результаты эксперимента показали хорошее соответствие с теорией. Основной эффект значительного уменьшения глубины проникания в композит по сравнению с цельными образцами из составляющих металлов наблюдался в пределах $1,6 < \tau_{sr}/\tau_{sx} < 3,6$. Значение τ_{sr} находилось по Фойхту $\tau_{sr} = (h_1\tau_{s1} + h_2\tau_{s2})/(h_1 + h_2)$, где индексы 1, 2 относятся к металлам, $h_{1,2}$ — толщины пластин, τ_{sx} измерялось для образца опытами на сжатие. При проникании в композит, состоящий из алюминия ($h_1 = 1,6 \cdot 10^{-3}$ м) и свинца ($h_2 = 2 \cdot 10^{-3}$ м) получились следующие глубины проникания: в алюминий 10^{-1} м, в свинец более $10 \cdot 10^{-3}$ м (образец толщиной $12 \cdot 10^{-3}$ м был пробит насквозь), в композит $6 \cdot 10^{-2}$ м: $\tau_{sr}/\tau_{sx} = 2,3$.

СПИСОК ЛИТЕРАТУРЫ

1. Багдоев А. Г., Ванцян А. А. Проникание тонкого тела в упругие анизотропные среды//Изв. АН АрмССР. Механика. 1983. Т. 36. № 6. С. 23—30.
2. Багдоев А. Г., Ванцян А. А. Проникание тонкого тела в металлы и грунты//Изв. АН АрмССР. Механика. 1981. Т. 34. № 3. С. 25—38.
3. Хилл Р. Математическая теория пластичности. М.: Гостехиздат, 1956. 407 с.

Ереван

Поступила в редакцию
14.XII.1993